

# ارزیابی عددی و تحلیلی ظرفیت باربری سیستم کیسه - خاک با مقطع نیم‌بیضی تحت بارگذاری قائم

عبدالحسین حداد<sup>\*</sup> (دانشیار)

محمد بهوده‌دار (کارشناس ارشد)

دانشکده‌ی هندسی عمارت، دانشگاه سمنان

هدف اصلی این نوشتار، بررسی تأثیر فرم هندسی سیستم کیسه - خاک با مقطع نیم‌بیضی در پیشنهادی ظرفیت باربری، تحت بارگذاری قائم است. در این مطالعه، در ابتدا با استفاده از روش تحلیلی، پیشنهادی ظرفیت باربری سیستم کیسه - خاک، تحت فرم هندسی نیم‌بیضی دایره مورد بررسی قرار گرفته و سپس مقدار پیشنهادی ظرفیت باربری سیستم کیسه - خاک، با فرم هندسی جدیدی به شکل نیم‌بیضی ارائه شده است. در ادامه، شبیه‌سازی رفتار مکانیکی سیستم کیسه - خاک، با مقطع نیم‌بیضی و نیم‌دایره، با استفاده از روش المان محدود در حالت سه بعدی مورد توجه قرار گرفته است. نتایج بررسی‌ها نشان می‌دهند که با افزایش پارامتر هندسی خروج از مرکزیت در کیسه با مقطع نیم‌بیضی و زاویه اصطکاک داخلی ماسه، ظرفیت باربری قائم سیستم کیسه - خاک تحت بارهای خارجی افزایش می‌یابد. از این رو، انتخاب فرم هندسی مناسب برای مقطع کیسه می‌تواند ظرفیت باربری آن را تا حد قابل توجهی تقویت کند.

**واژگان کلیدی:** سیستم کیسه - خاک، ظرفیت باربری، مقطع نیم‌بیضی، خروج از مرکزیت مقطع کیسه.

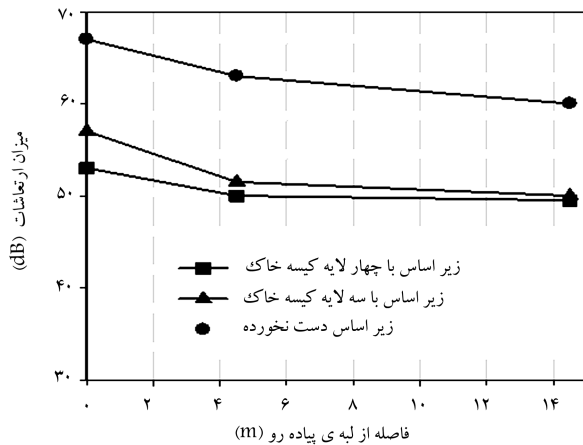
ahadad@semnan.ac.ir  
mbahrehdar@students.semnan.ac.ir

## ۱. مقدمه

سیستم کیسه - خاک یکی از مصنوعات پلیمری نوین به شماره‌ی آید، که از آن می‌توان در جهت تقویت و تسليح بسترهای حفاظت خاک در مقابل فرسایش در پروره‌های مختلف عمرانی استفاده کرد. سیستم کیسه - خاک، شامل خاک محصور شده در یک کیسه‌ی پلیمری است، که ویگی‌های آن براساس مقاومت کششی، اندازه و فرم هندسی کیسه‌ی پلیمری و خواص مصالح پرکننده درون آن، که به زاویه اصطکاک داخلی خاک بستگی دارد، تعریف می‌شود. هنگامی که سیستم کیسه - خاک تحت بارگذاری قائم قرار می‌گیرد، نیروی کششی بوجود آمده در لفاف کیسه موجب افزایش فشار بین ذرات خاک ( $N$ ) می‌شود. نتیجه‌ی مستقیم این امر افزایش نیروی اصطکاک بین ذرات خاک ( $\mu$  ضرب اصطکاک خاک و  $N = \mu \cdot N$ ) است.<sup>[۱]</sup>

نویسنده در سیستم کیسه - خاک بیشتر به نوع کاربرد آن و قابلیت در دسترس بودن مصالح بستگی دارد. یکی از مهم‌ترین مشخصه‌های به کار رفته در ساختار سیستم کیسه - خاک، مقاومت کششی پلیمر به کار رفته در کیسه است. کیسه‌های به کار رفته در سیستم کیسه - خاک، عموماً از پلیمرهای پلی‌اتیلن یا پلی‌پروپیلن تهیه می‌شوند. سازه‌های تسليح شده با سیستم کیسه - خاک نیز مزایای

\* نویسنده مسئول  
تاریخ: دریافت ۱۲/۶/۱۳۹۲، اصلاحیه ۲۵/۹/۱۳۹۲، پذیرش ۲۰/۱۱/۱۳۹۲.



شکل ۲. مقادیر شدت نوسانات عبوری بر حسب فاصله‌ی مناطق مسکونی از لبه‌ی پیاده‌رو.

۳. ظرفیت باربری کیسه‌هایی که حاوی شن هستند، بیشتر از کیسه‌های پرشده با ماسه هستند.

۴. رابطه‌ی بین تنفس - کرنش کیسه‌ها با رابطه‌ی بین تنفس - کرنش خاک متفاوت است.

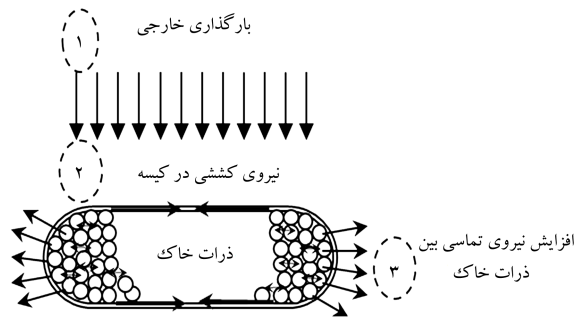
۵. با توجه به آزمایش‌های انجام شده، در نقاطی مانند نقاط تماس کیسه با صفحه‌ی بارگذاری و نقاط درز دوخت پارگی رخ داده است.

۶. ظرفیت باربری کیسه‌ها به مقاومت کششی لفاف کیسه‌ها و زاویه‌ی اصطکاک داخلی مصالح بستگی دارد و با افزایش مقاومت کششی لفاف کیسه‌ها و زاویه‌ی اصطکاک داخلی مصالح افزایش می‌یابد.

همچنین در پژوهش دیگری (۲۰۰۸)، به انجام آزمایش‌هایی که موجب کاهش لرزه‌های ناشی از عبور و مرور وسایط نقلیه‌ی سنگین می‌شوند، پرداخته شده است.<sup>[۲]</sup> در حقیقت، این روش، راهی را بر می‌گزیند تا توسط آن اثر لرزه‌های ناشی از ترافیک در منازل مسکونی کاهش یابد. روش آزمایش به این صورت بوده است که زیر اساس پیاده‌رو توسط ۳ تا ۴ لایه کیسه‌ی خاک تسلیح و در زمان عبور وسایط نقلیه‌ی سنگین با سرعت ۵۰ کیلومتر بر ساعت از کنار پیاده‌رو، اثر لرزه‌های ناشی از آنها در منازل مسکونی توسط حسگرهایی ثبت شده است. نتایج این آزمایش‌ها نشان می‌دهد که در استفاده از کیسه‌های خاک در زیر اساس پیاده‌رو در مقایسه با حالت دست‌نخورد، از مقدار شدت نوسانات به مقدار ۱۰ دسی‌بل<sup>۱</sup> کاسته و با افزایش لایه‌های سیستم کیسه - خاک این کاهش نوسانات بیشتر شده است و هر چه مکان قرارگیری سازه‌ی موردنظر از کناره‌ی پیاده‌رو دورتر باشد، مقدار شدت نوسان دریافتی کمتر خواهد بود (شکل ۲).<sup>[۲]</sup>

در سال ۲۰۰۳ نیز برای نخستین بار رفتار مکانیکی سیستم کیسه - خاک منفرد با شرایط مرزی مستطیلی به منظور تعیین بیشینه‌ی ظرفیت باربری تحت بارگذاری قائم مورد بررسی قرار گرفته است.<sup>[۴]</sup>

پس از آن در سال ۲۰۰۸ فرم هندسی نیم‌دایره برای شرایط مرزی سیستم کیسه - خاک توسط برخی پژوهشگران دیگر تعریف شده و سپس رفتار مکانیکی سیستم کیسه - خاک منفرد با استفاده از روش‌های عددی در حالت دو بعدی مورد بررسی قرار گرفته است. در این بررسی، رفتار مکانیکی مصالح خاک و کیسه‌ی پلیمری به ترتیب به صورت مدل‌های هیپو خمیری میکروقطبی و کشسان - خمیری



شکل ۱. فرایند بارگذاری خارجی روی سیستم کیسه - خاک.

سیستم کیسه - خاک منفرد با شرایط مرزی جدیدی به فرم هندسی نیم‌یضی تحت بارهای قائم پرداخته شده است. احداث و نگهداری تأسیسات زیربنایی از قبیل بستر راه‌ها، خاکریزها و دیوارهای حائل مستلزم به کارگری روش‌هایی هستند که علاوه بر صرفه اقتصادی، به محیط زیست پراهمون آسیب وارد نکنند. با بهره‌گیری از سیستم کیسه - خاک می‌توان به این هدف رسید. یکی از عوامل مهم انتخاب این طرح را می‌توان به سرعت عمل ساخت آن نسبت به سایر سیستم‌ها در احداث سازه‌های اضطراری و نقش آن در پدافند غیرعامل نیز اشاره کرد. در مواقعي که نیاز مردم به ساخت جانبناه در کمترین زمان ممکن باشد، سیستم کیسه - خاک می‌تواند گزینه‌ی مناسب برای این منظور باشد.

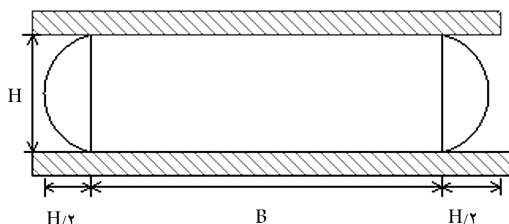
از ویژگی‌های خاص این سیستم اعطاف‌پذیری در ساخت دیوارهای حائل با اعطاف‌پذیری بالا در مناطق کوهستانی و قابلیت همسانی با بافت موجود و مقاومت در برابر تنفس‌های ناشی از زلزله و برقراری توازن و تعادل در انواع خاک بدون به کارگیری مواد و مصالح سخت از قبیل فولاد و بتن است. گاهی اوقات تشییت خاک‌های سست در پروره‌های عمرانی با استفاده از ماشین‌آلات مکانیکی به عمل صعب‌العبور بودن مسیر و یا شرایط اجرایی سخت پروژه (مانند تثیت خاک‌های کنار رودخانه‌ها یا خاکریزهایی با شیب تندر) میسر نخواهد بود. برای حل مشکل مذکور استفاده از کیسه‌های پلیمری پرشده با خاک‌های سست محل پروژه می‌تواند گزینه‌ی مناسب باشد.

بنابراین بحث پایدارسازی خاکریزها و شبکه‌های درکمینه‌ی زمان در موقع اضطراری با توجه به مباحث مطرح شده توسط کیسه‌هایی که ظرفیت باربری متناسبی در برابر بارگذاری خارجی داشته باشند، می‌تواند اهمیت زیادی داشته باشد. از این‌رو، در این پژوهش شرایط مرزی گوشش‌های سیستم کیسه - خاک، که یکی از عوامل مؤثر در ظرفیت باربری است، مورد بررسی قرار گرفته است.

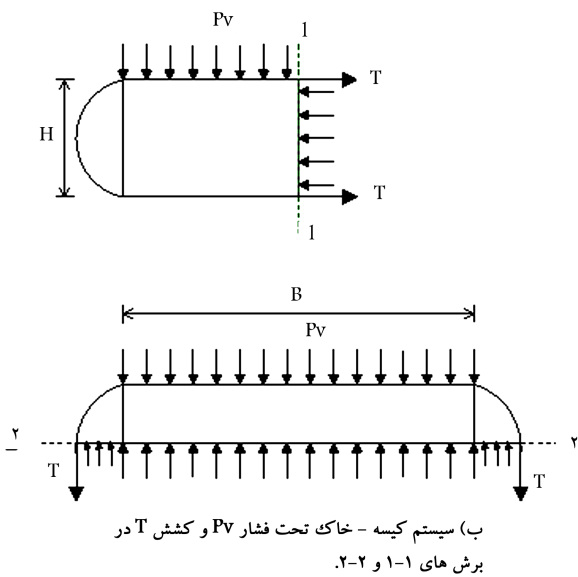
در مطالعاتی در سال ۲۰۰۸، تأثیر تسلیح فونداسیون با استفاده از سیستم کیسه - خاک در برابر بارگذاری خارجی مورد بررسی قرار گرفته است، نتایج آن مطالعات نشان داد که:<sup>[۵]</sup>

۱. نیروی بین ذرات داخل کیسه‌ها به مراتب بزرگ‌تر از نیروهای خارجی وارد بر کیسه‌های است. زیرا هنگامی که نیروی خارجی بر کیسه‌ها وارد می‌شود، یک نیروی کششی در لفاف کیسه‌ها ایجاد می‌شود و نیروی کششی از آن پس روی مصالح درون کیسه‌ها اثر می‌کند.

۲. ظرفیت باربری پی تسلیح شده با سیستم کیسه - خاک، ۲ تا ۳ برابر بیشتر از پی تسلیح نشده است.



الف) فرم هندسی سیستم کیسه - خاک با شرایط مرزی نیم دایره؛



شکل ۳. رفتار مکانیکی و ظرفیت باربری سیستم کیسه - خاک با شرایط مقطع مرزی نیم دایره [۷].

سیستم کیسه - خاک (شکل ۳ ب)، یعنیه ظرفیت باربری سیستم کیسه - خاک تعیین شده است. در ادامه، با درنظرگرفتن مقطع عرضی سیستم کیسه - خاک با عرض اولیه  $B$ ، ارتفاع اولیه  $H$  و طول  $l$  و نیم دایری  $\delta_v$  به شعاع  $H/2$  برای شرایط مرزی، حجم و محیط اولیه به صورت روابط ۱ و ۲ تعیین شده است:

$$L_0 = 2B_0 + \pi H_0$$

$$V_0 = B_0 \cdot H_0 \cdot l + \pi \left( \frac{H_0}{2} \right)^2 \cdot l$$

همچنین اگر سیستم کیسه - خاک متحمل تغییر شکل قائم  $\delta_v$  شود، با برابر قراردادن حجم اولیه و ثانویه سیستم کیسه - خاک ( $V_0, V$ )، تغییرات محیط ( $L$ ) و عرض آن ( $B$ ) از روابط ۳ الی ۵ به دست می آید:

$$H = H_0 - \delta_v \quad (3)$$

$$V = V_0 \rightarrow B = \frac{B_0 H_0 + \frac{\pi H_0 \delta_v}{4} - \frac{\pi (\delta_v)^2}{4}}{(H_0 - \delta_v)} \quad (4)$$

$$L = \frac{2B_0 H_0 - \pi H_0 \delta_v + \frac{\pi (\delta_v)^2}{4} + \pi H_0^2}{(H_0 - \delta_v)} \quad (5)$$

کرش محیطی کیسه - پلیمری نیز از رابطه ۶ به دست می آید:

$$\varepsilon_{bag} = \frac{L - L_0}{L_0} = \frac{\delta_v (\pi \delta_v + 4B_0)}{2(H_0 - \delta_v)(2B_0 + \pi H_0)} \quad (6)$$

کامل در نظر گرفته شده است.<sup>[۷]</sup> همچنین در پژوهش دیگری رفتار مکانیکی سیستم کیسه - خاک منفرد با شرایط مرزی نیم دایره و در حالت سه بعدی تحت بارگذاری قائم و برشی مورد بررسی قرار گرفته است. نتایج این پژوهش نشان می دهد که در یک بارگذاری ثابت، با افزایش زاویه اتساع و با ثابت فرض کردن زاویه ای اصطکاک داخلی ماسه، جابجایی قائم سیستم کیسه - خاک تحت بارگذاری قائم کاهش خواهد یافت.<sup>[۸]</sup> با توجه به مرور مطالعات انجام شده روی سیستم کیسه - خاک، تاکنون مطالعاتی به منظور بررسی تأثیر شرایط مرزی نیم دایره در ظرفیت باربری سیستم کیسه - خاک صورت نگرفته است. این در حالی است که این موضوع پیشتر برای شرایط مرزی نیم دایره مطالعه شده است.

## ۲. روش پژوهش

مدل یک پدیده در واقع نشانگر یا توصیف کننده آن است، که قادر به بیان اجراء سیستم مذکور یا روش کار آن است. این توصیف کننده می تواند به شکل فیزیکی یعنی با ساخت نمونه آزمایشگاهی آن سیستم انجام شود و یا به صورت عددی و تحلیلی مورد مطالعه قرار گیرد. در ابتدای این نوشتار با استفاده از روش تحلیلی به بررسی و مقایسه ای مطالعات انجام شده توسط دیگر پژوهشگران و مطالعات جدید انجام شده روی ظرفیت باربری فشاری سیستم کیسه - خاک تحت شرایط مرزی نیم دایره پرداخته شده است. سپس در ادامه، مطالعات عددی با استفاده از نرم افزار ABAQUS (ver ۱۰,۶)<sup>[۹]</sup> روی رفتار مکانیکی سیستم کیسه - خاک منفرد در حالت سه بعدی تحت بارهای قائم انجام شده و با نتایج بدست آمده از روش های تحلیلی مورد مقایسه قرار گرفته است.

### ۱.۲. روش تحلیلی

در مطالعه به روش تحلیلی، رفتار مکانیکی یک سیستم کیسه - خاک منفرد، تحت فشار قائم یکنواخت و با شرایط مقطع مرزی نیم دایره در گوشه های آن مورد بررسی قرار گرفته است. در این بررسی، ظرفیت باربری سیستم کیسه - خاک تحت شرایط مرزی در کیسه - پلیمری مورد توجه بوده است. در ادامه، فرم هندسی جدیدی به شکل نیم دایری برای شرایط مرزی سیستم کیسه - خاک به منظور افزایش ظرفیت باربری ارائه شده و در نهایت، نتایج حاصله با نتایج دیگر پژوهشگران مورد مقایسه قرار گرفته است.

**۱.۱.۱. ارزیابی سیستم کیسه - خاک با شرایط مرزی نیم دایره**  
در شکل ۳ الف، رفتار مکانیکی سیستم کیسه - خاک منفرد تحت فشار قائم یکنواخت براساس مدل ساده شده تاثنوو<sup>[۱۰]</sup> نشان داده شده است. این فرضیات به منظور حل ریاضی مستلزم در نظر گرفته شده است:

- نوع مصالح پرکننده درون کیسه، دانه بی است.
- شرایط کرنش صفحه بی در نظر گرفته شده است.
- از تغییر ضخامت کیسه، بعد از اعمال بارگذاری صرف نظر شده است.
- از تitas اصطکاکی بین کیسه - خاک و صفحه بارگذاری کیسه صرف نظر شده است.

سپس با درنظر گرفتن فشار قائم بر سیستم کیسه - خاک ( $p_v$ )، تنش قائم و افقی بین ذرات خاک ( $\sigma_h$  و  $\sigma_v$ )، و نیروهای نشان داده شده در برش های ۱-۱ و ۲-۲ در

بیشینه‌ی ظرفیت باربری سیستم کیسه - خاک منفرد تحت بارگذاری قائم پرداخته شده است. در شکل ۴الف، فشار قائم  $P_V$  بر سیستم کیسه - خاک وارد شده است.  $a$  و  $b$  به ترتیب نصف قطر اولیه‌ی بزرگ و کوچک نیم‌بیضی،  $H$  و  $B$ ، ارتفاع و عرض اولیه‌ی سیستم کیسه - خاک است. کشیدگی بیضی با خروج از مرکزیت به صورت رابطه‌ی ۱۱ تعریف می‌شود:

$$e = \sqrt{1 - \left(\frac{b}{a}\right)^2}, \quad 0 < e < 1 \quad (11)$$

با میل  $e$  به سمت عدد صفر، بیضی به شکل دایره تبدیل و با میل آن به سمت عدد ۱، بیضی کشیده‌تر خواهد شد. با حل معادله‌ی ۱۱،  $a$  به دست خواهد آمد (رابطه‌ی ۱۲):

$$a = \frac{b}{\sqrt{1-e^2}} = \frac{H}{2\sqrt{1-e^2}} \quad (12)$$

با صفرشدن مقدار  $e$ ، بیضی تبدیل به دایره می‌شود. در نتیجه روابط ارائه شده برای شرایط نیم‌بیضی، تبدیل به روابط ارائه شده تأثیر نداشتند [۷] (شرایط نیم‌دایره) خواهد شد. اما اگر مقدار  $e$  غیرصفر باشد، بیضی کشیده‌تر خواهد شد و همچنین بیشینه‌ی ظرفیت باربری سیستم کیسه - خاک متفاوت خواهد بود. در ادامه، با درنظرگرفتن ابعاد اولیه‌ی  $H$ ،  $B$ ، طول  $l$  و فرم هندسی نیم‌بیضی برای شرایط مرزی، محیط و حجم اولیه به صورت رابطه‌های ۱۳ و ۱۴ به دست می‌آیند:

$$L_0 = 2B + \left(\frac{\pi \cdot H_0}{\sqrt{2}}\right) \sqrt{\frac{2-e^2}{1-e^2}} \quad (13)$$

$$V_0 = B \cdot H_0 \cdot l + \frac{\pi \cdot H_0}{4} \cdot \frac{1}{\sqrt{1-e^2}} \cdot l \quad (14)$$

اکنون اگر سیستم کیسه - خاک متوجه تغییرشکل‌های  $\delta v$  شود، با درنظرگرفتن اینکه حجم سیستم کیسه - خاک ثابت فرض شده است، محیط ثانویه، تغییرات کرنش محیطی و عرض کیسه‌ی پلیمری از طریق روابط ۱۵ الی ۱۸ به دست خواهند آمد:

$$H = H_0 - \delta v \quad (15)$$

$$V = V_0 \rightarrow B = \frac{B \cdot H_0 + \frac{1}{\sqrt{1-e^2}} \cdot \left( \frac{\pi H_0 \delta v}{r} - \frac{\pi (\delta v)^2}{r} \right)}{(H_0 - \delta v)} \quad (16)$$

$$L = 2B + \left(\frac{\pi \cdot H_0}{\sqrt{2}}\right) \sqrt{\frac{2-e^2}{1-e^2}} \quad (17)$$

$$\varepsilon_{bag} = \frac{L - L_0}{L_0} = \frac{\delta v \left( 4B_0 + \pi \delta v \cdot \sqrt{\frac{r-e^2}{r(1-e^2)}} \right)}{2(H_0 - \delta v) \left( 2B_0 + \pi H_0 \sqrt{\frac{r-e^2}{r(1-e^2)}} \right)} \quad (18)$$

حال با درنظرگرفتن  $P_V$  فشار قائم بر سیستم کیسه - خاک،  $\sigma_h$  و  $\sigma_v$  تنش قائم و افقی بین ذرات خاک و برش‌های ۱-۱ و ۲-۲ در سیستم کیسه - خاک (شکل ۴ب)، بیشینه‌ی ظرفیت باربری سیستم کیسه - خاک به دست می‌آید. با برابر قراردادن تنش‌ها در جهات قائم و افقی معادلات ۱۹ و ۲۰ حاصل می‌شود:

$$\sum F_x = 0 : \sigma_h \times H \times l - 2T = 0 \quad (19)$$

$$\sum F_y = 0 : \sigma_v \times B \times l - 2T - p_v \times B \times l + \sigma_v \times \frac{H}{2\sqrt{1-e^2}} \times l = 0 \quad (20)$$

در شکل ۳ب، با برابر قراردادن تنش‌ها در جهات قائم و افقی معادلات ۷ و ۸ حاصل می‌شود:

$$\Sigma F_x = 0 : \sigma_h \times H \times l - 2T = 0 \quad (21)$$

$$\Sigma F_y = 0 : \sigma_v \times B \times l + \sigma_v \times \frac{H}{2} \times l - 2T - p_v \times B \times l = 0 \quad (22)$$

با درنظرگرفتن ضریب فشار جانبی خاک ( $K_P$ ) و تنش‌های قائم و افقی می‌توان رابطه‌ی ۹ را نوشت:

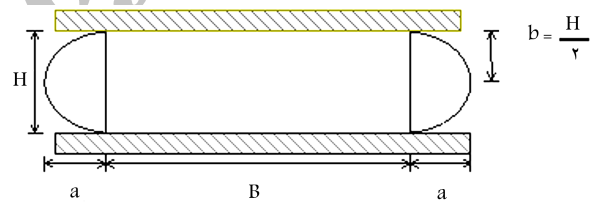
$$\sigma_h = K_P \cdot \sigma_v \quad (23)$$

بیشینه‌ی ظرفیت باربری سیستم کیسه - خاک با مقطع نیم‌دایره از رابطه‌ی ۱۰ به دست می‌آید:

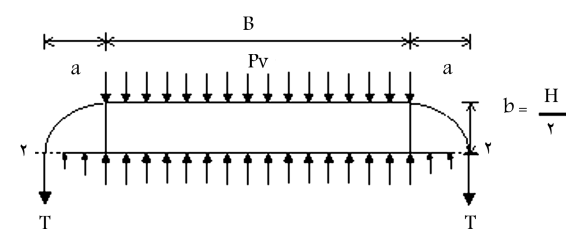
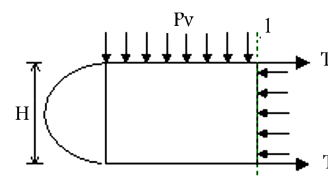
$$F_{limit} = 2 (\sigma_y)_{bag} \times t \times \left[ \frac{B \cdot K_P}{H} + \frac{K_P}{2} - 1 \right] \times l \quad (10)$$

که در آن،  $t$  و  $\sigma_y$  به ترتیب ضخامت و تنش تسلیم کیسه‌ی پلیمری هستند.

**۲.۱.۲. ارزیابی سیستم کیسه - خاک با شرایط مرزی نیم‌بیضی**  
مشاهده‌ای انجام شده نشان می‌دهد فرم هندسی شرایط مرزی کیسه تحت تأثیر بارگذاری تغییر می‌کند. [۱۰] با تغییر شعاع انحنای شرایط مرزی مشاهده می‌شود که فقط شرایط مرزی نیم‌دایره حاصل نخواهد شد. بلکه با تغییر خروج از مرکزیت می‌توان شرایط مرزی نیم‌بیضی را نیز مورد مطالعه قرار داد. بنابراین در این نوشتار با ارائه شرایط مرزی جدیدی به فرم هندسی نیم‌بیضی (شکل ۴الف)، به تعیین

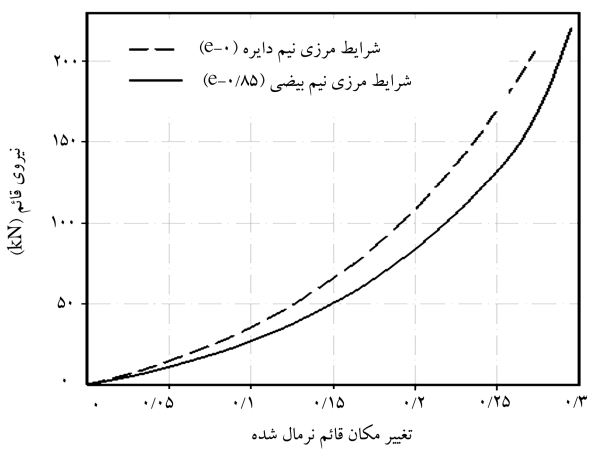


الف) فرم هندسی سیستم کیسه - خاک با شرایط مرزی نیم‌بیضی؛



ب) سیستم کیسه - خاک تحت فشار  $P_V$  و کشش  $T$  در برش‌های ۱-۱ و ۲-۲.

شکل ۴. فرم هندسی و ظرفیت باربری سیستم کیسه - خاک با شرایط مقطع مرزی نیم‌بیضی.



شکل ۵. نمودار بار - نشست سیستم کیسه - خاک.

در ابتدا کرنش نهایی محیطی برای جدار کیسه، معادل ۲۵٪ انتخاب شده است. این مقدار از کرنش برای دستیابی به شرایط گسیختگی در اغلب کیسه‌هایی از جنس ژئوتکستایل کافی است. سپس به کمک روابط ۶ و ۱۸ مقدار تغییر مکان بیشینه‌ی قائم متناظر با این کرنش محیطی تعیین شده است. برای کیسه با مقطع نیم‌دایره این مقدار در حدود ۱۹/۱ و برای مقطع نیم‌بیضی این مقدار حدود ۲۱ میلی‌متر است. حال با استفاده از روابط ۱۰ و ۲۴، ظرفیت برابری نهایی کیسه با مقطع نیم‌دایره و نیم‌بیضی بر حسب تغییر مکان بیشینه‌ی قائم به ترتیب معادل ۲۰۵/۸ و ۲۰۵/۵ کیلونیوتن محاسبه شده‌اند. ملاحظه می‌شود که با تغییر مقطع از نیم‌دایره به نیم‌بیضی، ظرفیت باربری سیستم کیسه - خاک ۱۴/۷ کیلونیوتن افزایش یافته است. همچنین، در مدل ارائه شده با مقطع نیم‌بیضی با افزایش مقدار خروج از مرکزیت، فرم هندسی بیضی کشیده‌تر شده است. تغییرات غیرخطی خروج از مرکزیت نیم‌بیضی نسبت به ظرفیت باربری سیستم کیسه - خاک در نمودار شکل ۶ به تصویر کشیده شده است.

**۴.۱.۲ ارزیابی عددی سیستم کیسه - خاک با شرایط مرزی نیم‌دایره و نیم‌بیضی**  
در این بخش، رفتار مکانیکی سیستم کیسه - خاک به منظور تعیین بیشینه‌ی ظرفیت باربری آن، با استفاده از مقطع نیم‌بیضی و نیم‌دایره، در نرم‌افزار المان محدود آباکوس<sup>۲</sup> به صورت سه بعدی مورد تحلیل قرار گرفته است. آباکوس یک

با درنظر گرفتن ضربن ضشار جانبی خاک ( $K_p$ ) و تنش‌های قائم و افقی می‌توان رابطه‌ی ۲۱ را نوشت:

$$\sigma_h = K_p \cdot \sigma_v \quad (21)$$

که برای خاک دانه‌ی با زاویه‌ی اصطکاک  $\phi$ ، ضربن ضشار جانبی خاک از روابط ۲۲ و ۲۳ بدست می‌آید:

$$K_p = \frac{1 + \sin\phi}{1 - \sin\phi} \quad (22)$$

$$F_v = p_v \times B \times l \quad (23)$$

ظرفیت برابری حدی سیستم کیسه - خاک با مقطع نیم‌بیضی از رابطه‌ی ۲۴ بدست می‌آید:

$$F_{v,limit} = 2 (\sigma_y)_{bag} \times t \times \left[ \frac{B \cdot K_p}{H} + \frac{K_p}{2 \cdot \sqrt{1 - e^r}} - 1 \right] \times l \quad (24)$$

که در آن،  $t$  و  $(E \times \varepsilon_{bag})$  به ترتیب ضخامت و تنش تسليم کیسه‌ی پلیمری هستند.

**۱.۲ مقایسه‌ی ظرفیت برابری سیستم کیسه - خاک با شرایط مرزی نیم‌دایره و نیم‌بیضی**  
در این بخش به مقایسه‌ی ظرفیت برابری نهایی سیستم کیسه - خاک پرداخته شده است. بدین منظور دو سیستم کیسه - خاک با شرایط مرزی نیم‌دایره و نیم‌بیضی در نظر گرفته شده و مشخصات مکانیکی و هندسی آن‌ها در جدول‌های ۱ و ۲ ارائه شده است.

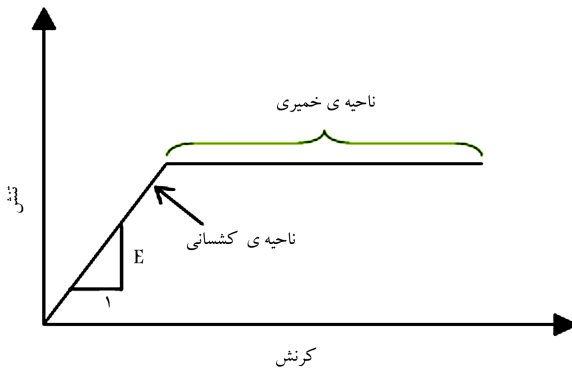
مقادر ابعاد اولیه سیستم کیسه - خاک، بیشینه‌ی ظرفیت برابری و بیشینه‌ی نشست برای مقطع نیم‌بیضی و نیم‌دایره در جدول ۱ ارائه شده است. با اعمال تغییر مکان قائم ( $\delta v$ ) متغیر روی سیستم کیسه - خاک، نیروی قائم قابل تحمل سیستم با استفاده از روابط ۱۰ و ۲۴ بدست خواهد آمد. شکل ۵، شامل دو منحنی بار - تغییر مکان نormal شده (تغییر مکان قائم تقسیم بر ارتفاع اولیه کیسه) است، که نشانگر رفتار سیستم کیسه - خاک است. برای تعیین ظرفیت باربری سیستم کیسه خاک با دو مقطع مختلف به این روش عمل شده است:

جدول ۱. مشخصات هندسی سیستم کیسه - خاک در روش‌های تحلیلی و عددی.

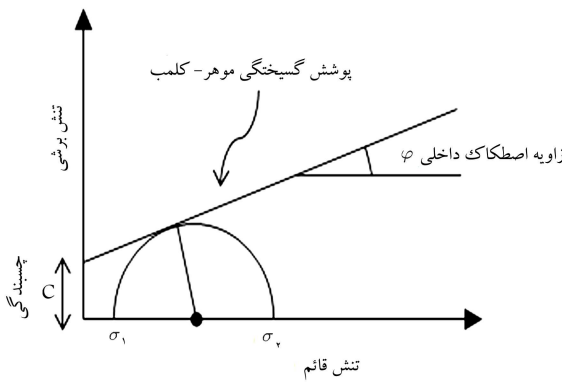
$F_{V-limit}$ (kN)	$\delta_{v-peak}$ (mm)	$e$	$V_c$ (cm <sup>3</sup> )	$l$ (cm)	$B_c$ (cm)	$H_c$ (cm)	نمایه
۲۰۵/۸	۱۹/۱	۰	۲۸۱۷/۵	۱۷/۵	۱۷/۵۵	۷	نیم‌دایره
۲۰۵/۵	۲۱	۰/۸۵	۲۸۱۷/۵	۱۴/۵	۱۷/۵	۷	شرایط مرزی نیم‌بیضی

جدول ۲. مشخصات مکانیکی خاک و کیسه‌ی پلیمری از جنس پلی‌اتیلن.

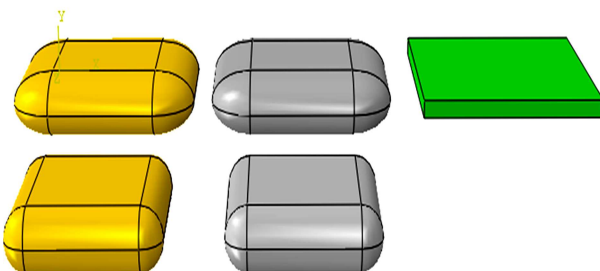
$t$ (mm)	$C$ (kPa)	$\nu$	$\psi$ (°)	$\varphi$ (°)	$\sigma_y(bag)$ (MPa)	$E$ (MPa)	نمایه
-	۱	۰/۳۳	۳	۳۰	-	۴۰	خاک
۱	--	۰/۳۳	--	--	۲۵	۱۴۰	مشخصات کیسه



شکل ۷. رابطه‌ی بین تنش - کرنش برای مصالح کیسه‌ی پلیمری.



شکل ۸. سطح گسیختگی مدل موهر - کلمب.



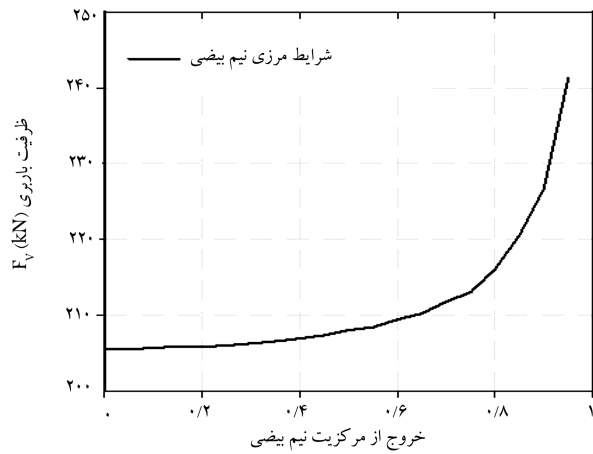
شکل ۹. بخش‌های مدل، به منظور مونتاژ سیستم کیسه - خاک.

از جنس ژوسيتیک<sup>۲</sup> است. پارامترهای موردنیاز برای خواص مصالح (خاک و کیسه‌ی پلیمری) در جدول ۲ نشان داده شده‌اند.

#### ۶.۱.۲. شرایط مرزی و المان‌بندی

شرایط مرزی، برای ایجاد قیود در بخش‌هایی از مدل به کارگرفته می‌شوند تا مدل ثابت باقی بماند، یا به مقدار از پیش تعیین شده‌ی حرکت کند. در تحلیل‌های استاتیک، شرایط مرزی کافی باشد فراهم شود تا از حرکت مدل به صورت جسم صلب جلوگیری شود. در غیر این صورت، حرکت جسم صلب مقید نمی‌شود و باعث مکوسن‌ناپذیری ماتریس سختی می‌شود و این امر سبب می‌شود که تحلیل سازه به طور کامل انجام نگیرد. شرایط مرزی برای مدل‌ها به گونه‌ی است که در هر دو گام، سطح زیرین کیسه‌ی پلیمری در جهت قائم حرکتی ندارد.<sup>[۱۱]</sup>

نوع المان: نرم‌افزار مورد استفاده در این پژوهش دارای المان‌های متعددی است که بسته به مدل و نوع آنالیز می‌تواند مورد استفاده قرار گیرد. برای المان مذکور از



شکل ۶. تغییرات ظرفیت باربری سیستم کیسه - خاک به ازاء مقادیر متغیر خروج از مرکزیت.

جدول ۳. مشخصات سطح اشتراک سیستم کیسه - خاک و صفحه‌ی بارگذاری.

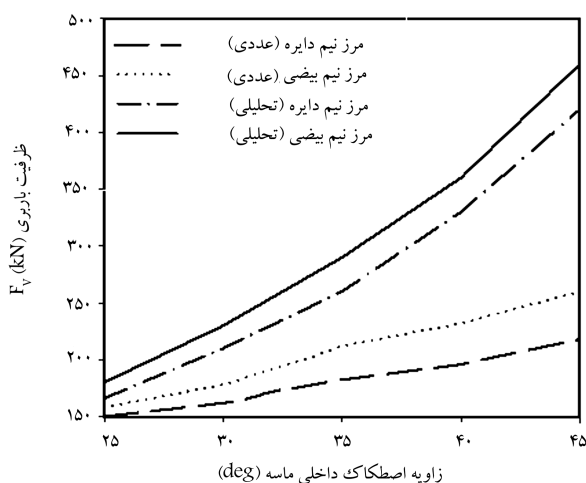
سطح اشتراک	ضریب اصطکاک	زاویه اصطکاک	اجزایی جدایش دو سطح داده شود؟
کیسه - خاک	۰,۵۷	۳۰°	بله
کیسه - صفحه‌ی بارگذاری	۰,۵	۲۶°	خیر

برنامه‌ی شبیه‌سازی قدرتمند مهندسی است، که اساس آن روش المان محدود است. از مزایای روش تحلیل مذکور نسبت به روش سنتی می‌توان به امکان مدل‌کردن هندسه و شرایط مرزی پیچیده، تعیین توزیع تنش و تغییرشکل در نقاط مختلف سازه، پیش‌بینی مناسب رفتار سازه تحت مسیرهای مختلف بارگذاری و امکان مدل‌کردن مراحل و نحوه بارگذاری اشاره کرد. در این نوشتار، از روش استاندارد برای بررسی مدل استفاده شده است. همان‌گونه که می‌دانیم، رفتار مدل‌هایی که تحت تحلیل قرار می‌گیرند، باید برای برنامه تعریف شوند. مدلی که در این نوشتار طراحی شده است، شامل صفحه‌ی صلبی است. رفتار مکانیکی کیسه‌ی پلیمری و کیسه‌ی پلیمری پُرشده از خاک قرار گرفته است. رفتار مکانیکی کیسه‌ی پلیمری و خاک به ترتیب با مدل رفتاری کشسان - خمیری مطابق شکل ۷ و مدل رفتاری موهر - کلمب، شکل ۸ تعریف شده‌اند. فرم هندسی قطعات به کار رفته در مدل شامل کیسه‌ی پلیمری، خاک و صفحه‌ی بارگذاری در شکل ۹ نشان داده شده است.

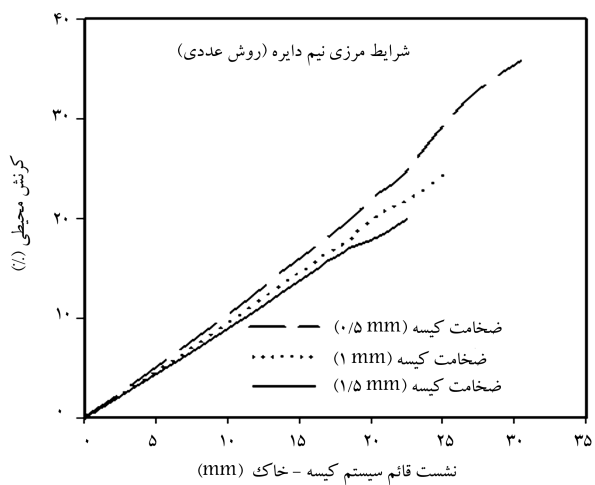
۵.۱.۲. سطح اشتراک و رفتار مصالح به کار رفته در سیستم کیسه - خاک

در نرم‌افزار آباکوس، تماس مکانیکی بین سطوح با استفاده از سطوحی که با یکدیگر اندرکش دارند، تعریف می‌شود. نرم‌افزار آباکوس دو نوع رفتار تماسی برای شبیه‌سازی تماس براساس سطح ارائه می‌دهد، که رفتار مماسی و رفتار قائم نامیده می‌شوند. مشخصات سطح اشتراک به کار گرفته برای سیستم کیسه - خاک و صفحه‌ی بارگذاری در جدول ۳ نشان داده شده است.

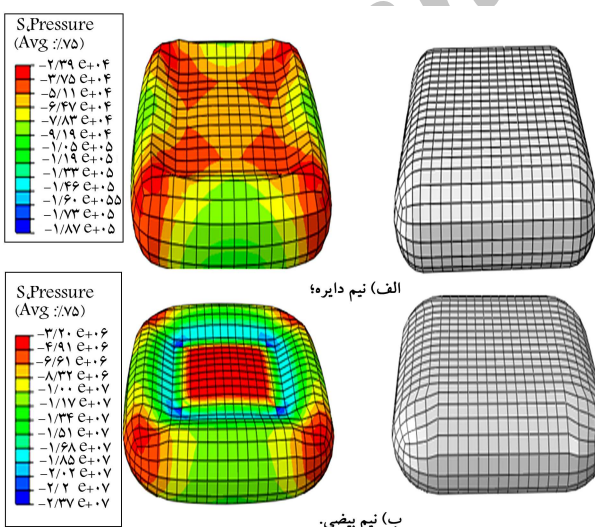
۵.۱.۳. مدل فیزیکی که در این نوشتار به صورت سه بعدی شبیه‌سازی شده است، شامل صفحه‌ی صلبی است که روی کیسه‌ی پلیمری پُر شده از خاک ماسه‌ی قرار گرفته است. مدل رفتاری موردنظر برای تبیین پاسخ کیسه‌ی پلیمری و خاک، به ترتیب مدل کشسان - خمیری کامل و موهر - کلمب هستند.<sup>[۱۱]</sup> خاک مورد استفاده در این پژوهش، ماسه است. پوسته‌ی خارجی مورد استفاده برای مدل فیزیکی،



شکل ۱۲. نمودار تغییرات زاویه‌ی اصطکاک داخلی خاک به ظرفیت باربری نهایی سیستم کیسه - خاک.



شکل ۱۳. جابجایی قائم سیستم کیسه - خاک به کرنش محیطی کیسه.



شکل ۱۴. مقطع هندسی قبل و بعد از بارگذاری در سیستم کیسه - خاک و کانتور توزیع تنش با مقاطع (واحد تنش بر حسب پاسکال است).

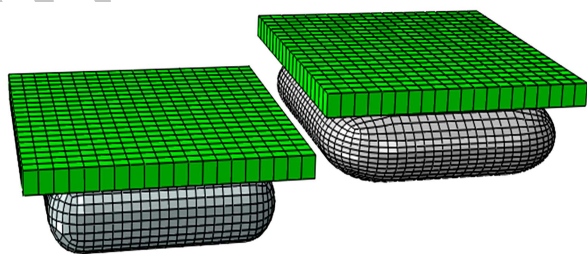
چند المان خاص استفاده شده است. نوع المان‌های به کار رفته برای مدل خاک به صورت المان‌های حجمی مکعبی ۸ گروهی (C<sub>3</sub>D<sub>8</sub>) است. در حالی که برای کیسه‌ی پلیمری، المان سه بعدی (غشاوی) ۴ گروهی (M<sub>3</sub>D<sub>4</sub>) در نظر گرفته شده است. مدل مونتاژ شده سیستم کیسه - خاک با انجام مشبندي، در شکل ۱۰ به تصویر کشیده شده است.

### ۳. نتایج عددی

#### ۱.۳. رفتار مکانیکی سیستم کیسه - خاک تحت بارگذاری قائم

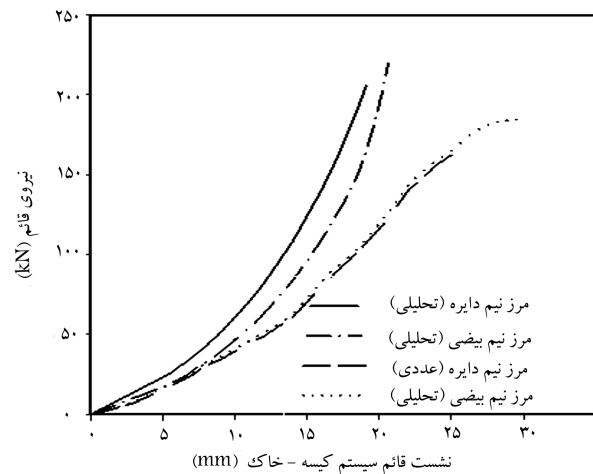
نتایج حاصل از تحلیل‌های عددی نشان می‌دهد هنگامی که سیستم کیسه - خاک تحت فشار قائم  $P_7$  قرار می‌گیرد، متholm تغییرمکان ۸۷ درجهت قائم خواهد شد. شکل ۱۱، تغییرات جابجایی قائم سیستم کیسه - خاک در برابر بارگذاری قائم را نشان می‌دهد، که مطابق آن بیشینه‌ی ظرفیت باربری سیستم کیسه - خاک با مقطع نیم‌دایره در برابر بارگذاری قائم ۱۶۲,۳۱۲ کیلونیوتون در بیشینه‌ی ظرفیت باربری ۲۵,۲ میلی‌متر است. چنانچه مقطع نیم‌بیضی در نظر گرفته شود، بیشینه‌ی ظرفیت باربری سیستم کیسه - خاک افزایش یافته است. شکل ۱۲، ظرفیت باربری نهایی سیستم کیسه - خاک را به ازاء تغییرات زاویه‌ی اصطکاک داخلی خاک از ۲۵ تا ۴۵ درجه نشان می‌دهد، که مطابق آن با افزایش زاویه‌ی اصطکاک داخلی خاک، ظرفیت پاربری نهایی سیستم کیسه - خاک افزایش یافته است.

شکل ۱۳، نمودار تغییرات کرنش محیطی کیسه‌ی پلیمری را در جابجایی‌های



الف) نیم دایره.  
ب) نیم بیضی.

شکل ۱۵. مدل نهایی شبکه‌بندی سیستم کیسه - خاک با شرایط مرزی.



شکل ۱۶. تغییرات جابجایی سیستم کیسه - خاک به بارگذاری قائم.

در روش تحلیلی با تغییر مقطع نیم دایره به نیم بیضی ظرفیت باربری نهایی سیستم کیسه‌خاک، ۶۸٪ افزایش خواهد یافت.

۳. چنانچه با استفاده از روش عددی، مدل سیستم کیسه - خاک مورد تحلیل واقع شود، ظرفیت باربری نهایی آن با تغییر مقطع از نیم دایره به نیم بیضی، ۱۳٪/۳۶٪ افزایش خواهد یافت.

۴. نتایج نشان می‌دهد که هر چه زاویه اصطکاک بین ذرات خاک افزایش یابد، مقاومت سیستم کیسه - خاک در برابر بارگذاری خارجی نیز افزایش خواهد یافت. در نتیجه ۱۵ میلی‌متر، ظرفیت باربری سیستم کیسه - خاک با زاویه ای اصطکاک داخلی خاک در همان نتیجه ۱۵ میلی‌متر به ۴۰ درجه افزایش یابد، ظرفیت باربری سیستم کیسه - خاک برابر با ۶۵,۶۶ کیلونیوتون است. چنانچه زاویه اصطکاک داخلی خاک در نتیجه ۱۵ میلی‌متر به ۴۰ درجه افزایش خواهد یافت. از این رو نتیجه می‌شود که با افزایش زاویه اصطکاک داخلی خاک از ۳۰ درجه به ۴۰ درجه، ظرفیت باربری سیستم کیسه - خاک تقریباً ۱۶٪ برابر خواهد شد.

۵. در روش عددی، ضخامت کیسه‌ی پلیمری به ترتیب ۱۰,۵ و ۱۵ میلی‌متر برای تحلیل در نظر گرفته شده است. از نتایج این گونه استنباط می‌شود که با افزایش ضخامت کیسه‌ی پلیمری، کرنش محیطی آن کاهش می‌یابد.

۶. با توجه به نتایج روش عددی در شکل ۱۴ مشاهده می‌شود که بیشینه‌ی توزیع نتش (تمرکز نتش) در هر دو مدل یادشده در گوشه‌های کیسه‌ی پلیمری است.

۷. همچنین با درنظر گرفتن شرایط مرزی به صورت نیم بیضی، سطح موردنیاز برای ساخت کیسه‌ی پلیمری به منظور محصور کردن خاک، به مقدار قابل توجهی کاهش خواهد یافت، و بدین لحاظ صرفه جویی قابل توجهی در مواد مصرفی رخ خواهد داد.

## تقدیر و تشکر

نویسنگان از مسئولان سایت دانشگاه سمنان برای در اختیار گذاشتن نرم افزارهای موردنیاز، کمال تشکر و قدرانی را دارند.

مختلف با ضخامت‌های متغیر ۱,۰ و ۱,۵ نشان می‌دهد، که مطابق آن با افزایش ضخامت کیسه‌ی پلیمری، کرنش محیطی کیسه‌کاهش می‌یابد. هنگامی که ضخامت کیسه‌ی پلیمری ۰/۵ میلی‌متر در نظر گرفته شود، نتیجه بیشینه به ۴۸ میلی‌متر و کرنش محیطی بیشینه به ۲۵٪ خواهد رسید. اما چنانچه ضخامت کیسه‌ی پلیمری را ۳ برابر کنیم (یعنی ۱/۵ میلی‌متر)، نتیجه بیشینه به ۴۸ میلی‌متر و بیشینه‌ی کرنش محیطی به ۱۹٪ محدود خواهد شد. از این رو با ۳ برابر کردن ضخامت کیسه‌ی پلیمری، نتیجه و کرنش محیطی به ترتیب ۱/۳۵ و ۱/۸ برابر کاهش خواهد یافت. در شکل ۱۴، فرم هندسی کیسه‌های پلیمری با مقاطع نیم بیضی و نیم دایره، قبل و بعد از بارگذاری نشان داده شده است.

## ۴. نتیجه‌گیری

هدف اصلی این نوشتار بررسی رفتار سیستم کیسه - خاک تحت بارگذاری قائم، با استفاده از نرم افزار المان محدود آباکوس در حالت سه بعدی است. سپس تأثیر شرایط مرزی مقاطع، مشخصات مصالح خاک و ضخامت کیسه‌ی پلیمری در ظرفیت باربری نهایی سیستم کیسه - خاک بررسی شده است. نتایج به دست آمده عبارت‌اند از:

۱. در این نوشتار، به منظور بررسی تأثیر فرم هندسی در مقاومت فشاری سیستم کیسه - خاک، فرم هندسی نیم بیضی برای شرایط مرزی سیستم کیسه - خاک در نظر گرفته شده است. در مدل جدید، با افزایش مقدار خروج از مرزیت، فرم هندسی سیستم کیسه - خاک کشیده‌تر خواهد شد. این امر موجب افزایش ظرفیت باربری سیستم کیسه - خاک تحت بارهای خارجی می‌شود. در فرم هندسی ارائه شده، با صفر شدن مقدار خروج از مرزیت، نیم بیضی تبدیل به نیم دایره می‌شود. در نتیجه، روابط ارائه شده برای شرایط نیم بیضی، تبدیل به روابط ارائه شده برای شرایط نیم دایره خواهد شد.

۲. شرایط مرزی نیم بیضی با خروج از مرزیت ۸۵٪ در مقایسه با شرایط مرزی نیم دایره قابلیت تحمل بار خارجی بیشتری را دارد. با توجه به نتایج به دست آمده،

## پانوشت‌ها

1. Decibel
2. Abaqus
3. Geosynthetic

## منابع (References)

1. Matsuoka, H. and Liu, S., *A New Earth Reinforcement Method Using Soil Bags*, London, Taylor & Francis, pp. 14-17 (2006).
2. Nakagawa, Y., Chen, G.L., Tatsui, T. and Chida, S.
3. Tatsuoka, F., Tateyama, M., Uchimura, T. and Koseki, J. "Geosynthetic-reinforced soil retaining walls as important permanent structures", *Geosynth. Intl.*, 4(2), pp. 81-136 (1997).
4. Matsuoka, H. and Liu, S. "New earth reinforcement method by soilbags (donow)", *Soils and Foundations*, 43(6), pp. 173-88 (2003).
5. Yongfu, X., Jian, H. Yanjun, D. and De'an, S. "Earth reinforcement using soilbags", *Journal of Geotextiles and Geomembranes*, 26, pp. 279-289 (2008).

6. Matsuoka, H., Hasebe, T., Liu, S. and Shimao, R. "Friction property of soilbags and some measures to increase soil bag resistances against sliding", In: *Proceedings of the 38th Annual Symposium on Geotechnical Engineering*, Akita, Japan, pp. 67-79 (2003).
7. Tantono, S.F. and Bauer, E. "Numerical simulation of a soilbag under vertical compression", In: The 12th International Conference of International Association for Computer Methods and Advances in Geomechanics (IACMAG), Goa, India, pp. 1-5 (2008).
8. Ansari, Y., Merifield, R., Yamamoto, H. and Sheng, D. "Numerical analysis of soilbags under compression and cyclic shear", *Journal of Computers and Geotechnics*, **38**(5), pp. 659-668 (2011).
9. Hibbit and Sorensen, ABAQUS/Standard User's Manual, Version 6.10 (2010).
10. Haddad, A. and Bahrehdar, M. "Numerical and experimental evaluation of soilbags deformation under vertical loading", 5th European Geosynthetics Congress, Valencia, pp. 2-5 (2012).
11. Bahrehdar, M. "Numerical simulation of a soilbag behavior under vertical and shear compressions", MSc. Thesis, Semnan University, Iran, pp. 32-36 (2012).

Archive of SID